

## (21) 地圧計測のための水圧破碎データの解析

公害資源研究所

厨川道雄

小林秀男

松永烈

小杉昌幸

### 1.はじめに

水圧破碎技術は、地圧計測法として従来から用いられてきた。最近水田ら<sup>1)</sup>は水圧破碎によって3次元の応力測定を行うなど、この分野で新しい研究開発がさかんに行われている。地圧計測のための水圧破碎法は、深部における計測が可能であること、比較的大きなスケールでの測定ができることなどの長所を有している。しかし、オーバコアリング法による地圧測定では、応力解放による岩盤の変位の計測結果に基づいて行われる理論解析が確立しているが、水圧破碎法では得られたデータとフランチャの進展などの地下の岩盤の挙動との相関性が必ずしも明確になっていない。これまで数多くの研究者が、それぞれの立場で水圧破碎データの解析を行っている。水圧破碎法と地圧計測法として確立するには、どのような過程で計測を行い、得られたデータをどのように解析するかを、岩盤の挙動を考慮に入れたうえで明らかにする必要がある。著者らは、このような観点に立って、室内および現場において水圧破碎実験を行っている。ここでは、水圧破碎データをどのように考え方に基づき解析しているかについて述べる。

### 2. 水圧破碎によりボアホール壁面に生ずる応力の解析

水圧破碎にFig. 1に示すようなパッカーパークを用いると、ボアホール軸方向に作用する水圧は、パッカーパークのロッドによってほとんど吸収されるので、ボアホール壁面には伝わらない。したがって、パッカーパークを用いてボアホールに加えた水圧は、ボアホール軸と直交する面内のみに作用すると考えた解析ができる。

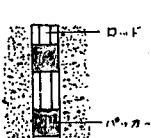


Fig. 1

Fig. 2に示すように直角座標 $x'y'z'$ をとり、それぞれの方向に主応力 $\sigma_1$ 、 $\sigma_2$ 、 $\sigma_3$ が作用する岩盤内に掘削されたボアホールを考える。次に、 $x$ 軸と $y$ 軸を一致させ、 $x$ 軸とボアホール軸を通る平面が $x'y'$ 平面と交わる線を $x$ 軸、 $x$ 軸および $y$ 軸と直交する方向に $z$ 軸とする。さらに、ボアホール軸に沿って $z$ 軸、 $z$ 軸と直交する面内に $y$ 軸を基準として、 $x$ 軸、 $z$ 軸をとり、 $r, \theta, \phi$ は円柱座標系となるようとする。ボアホールの方向をFig. 2に示すように $\psi, \phi$ で表すと、 $\sigma_1, \sigma_2, \sigma_3$ および水圧 $P_w$ によってボアホール壁面に生ずる応力は、次式で与えられる。<sup>3)</sup>

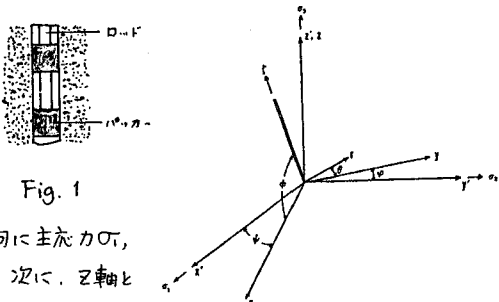


Fig. 2

$$\left. \begin{aligned} \sigma_r &= -P_w \\ \sigma_\theta &= 2\sigma_1 - 4\sigma_2 \cos 2\theta - 4\sigma_3 \sin 2\theta + P_w \\ \sigma_\phi &= \beta_1 - 4\sigma_2 \nu \cos 2\theta - 4\sigma_3 \nu \sin 2\theta \\ \tau_{rz} &= 0 \\ \tau_{\theta z} &= 2\gamma_1 \cos \theta + 2\gamma_2 \sin \theta \\ \tau_{r\theta} &= 0 \end{aligned} \right\} \quad (1)$$

ここで、 $\beta$ は岩盤のボアソン比、 $\nu$ 、 $\sigma_2$ 、 $\beta_1$ 、 $\gamma_1$ 、 $\gamma_2$ はボアホールの方向 $\psi, \phi$ を表すと、 $\sigma_1, \sigma_2, \sigma_3$ および水圧 $P_w$ によってボアホール壁面に生ずる応力は、次式で与えられる。<sup>3)</sup>

### 1) 最大応力の方向にフラフチャが生ずる場合

(1) 式に示す応力状態において ボアホール壁面内に主応力面が存在するので、 $\theta$  内では応力が最大値( $\sigma_m$ )を示す角度  $\theta_m$  と  $\sigma_m$  は次のようになる。

$$\begin{aligned} \theta_m &= \frac{1}{2} \tan^{-1} 2\tau_{\theta}/(\sigma_0 - \sigma_f) \\ \sigma_m &= \frac{1}{2} \left\{ \sigma_0 + \sigma_f + \sqrt{(\sigma_0 - \sigma_f)^2 + 4\tau_{\theta}^2} \right\} \end{aligned} \quad \} (2)$$

(2) 式で与えられる  $\sigma_m$  は、水圧( $P_w$ )の関数となっているので、水圧によって  $\sigma_m$  と  $\theta_m$  の値が変わることになる。さらに、 $\sigma_m$ ,  $\theta_m$  とも  $\theta$  の関数であるため、 $\theta$  を  $0 \sim 360^\circ$  の間で変化させ、 $\sigma_m$  が最大値( $\sigma_m'$ )を示すときの  $\theta$  の値( $\theta_m'$ )を求めるなければならない。

### 2) ボアホール軸に沿ってフラフチャが生ずる場合

水圧破碎を行うと、ボアホール軸に沿ってフラフチャが形成されることが多い。このような場合には、ボアホールと直交する面内の応力のみを考えればよい。 $\sigma_0$  が最大値を示すようなら  $\theta$  の値( $\theta_m'$ )とそのときの  $\sigma_0$  の値( $\sigma_m'$ )は次式で与えられる。

$$\begin{aligned} \theta_m' &= \frac{1}{2} \tan^{-1} \alpha_2 \\ \sigma_m' &= 2\alpha_1 - 4\alpha_2 \cos 2\theta_m' - 4\alpha_3 \sin 2\theta_m' + P_w \end{aligned} \quad } (3)$$

$\theta_m'$  は水圧( $P_w$ )とは無関係なので、水圧によって破壊発生個所が変わることはなし。

さて、具体例とともにフラフチャがどの方向に発生するかを検討する。そのため  $\sigma_1 = -70 \text{ kgf/cm}^2$ ,  $\sigma_2 = -100 \text{ kgf/cm}^2$ ,  $\sigma_3 = -130 \text{ kgf/cm}^2$  とする。ボアホール壁面にどのような応力が生ずるかを、 $\psi = 30^\circ$ ,  $\phi = 0 \sim 90^\circ$  として、最大応力( $\sigma_m$ )とボアホール軸方向の面に働く接線応力( $\sigma_0$ )の  $\theta$  による変化を示したもののが Fig. 3 である。ただし、水圧( $P_w$ )は 0 とした。ボアホールの方向にかかわらず、 $\sigma_m$  と  $\sigma_0$  の差がかなりあることがわかる。

そこで、ボアホールに水圧を加えると両者の関係がどのようになるかを(1)  $\psi = 30^\circ$ ,  $\phi = 60^\circ$ , (2)  $\psi = 30^\circ$ ,  $\phi = 30^\circ$  の 2 例について検討する。

まず、 $\psi = 30^\circ$ ,  $\phi = 60^\circ$  の場合について、水圧( $P_w$ )を 0 から  $300 \text{ kgf/cm}^2$  まで  $100 \text{ kgf/cm}^2$  毎に増やし、 $\sigma_m$  と  $\sigma_0$  の  $\theta$  による変化を Fig. 4 に示す。この図から、水圧を増加するにつれて、 $\sigma_m$  の最大値( $\sigma_m'$ )を与える  $\theta$  の値( $\theta_m'$ )が  $\theta_m'$  に近づくことがわかる。水圧が  $200 \text{ kgf/cm}^2$  に達するとボアホール壁面に引張応力が生じ、 $\sigma_m$  は

66  $\text{kgf/cm}^2$ ,  $\sigma_m'$  は 62  $\text{kgf/cm}^2$  となる。したがって

$\theta$  が  $126^\circ$  で、ボアホール軸と  $-13^\circ$  をなす方向に破壊が発生する可能性が高い。

そこで、この方向に沿う面と直交する方向の応力の  $\theta$  に伴う変化を  $\sigma_0$  とともに Fig. 5 に示す。この図から、先に述べた位置と方向

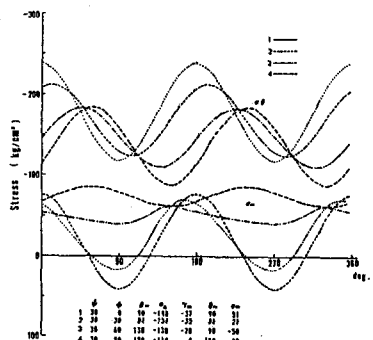


Fig. 3

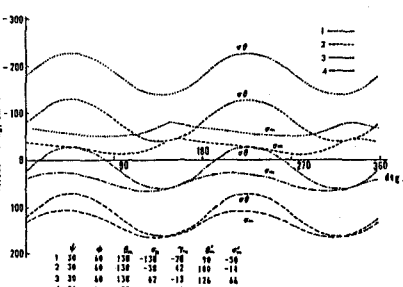


Fig. 4

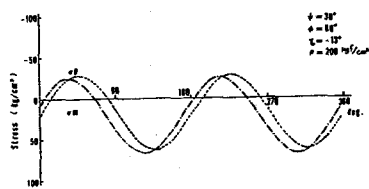


Fig. 5

に破壊が発生しても、 $\theta$ が $120^\circ$ 変化する位置すなわち $\theta = 138^\circ$ に達すると、 $\sigma_\theta$ の値がこの面と直交する応力より大きくなるので、フラクチャはボアホール軸方向に向きを変えると思われる。したがって、水圧破碎によりボアホール軸の方向にフラクチャが形成された場合、応力分布によって $\theta_m'$ の位置で形成されたものと考えられることから、ボアホール軸と直交する面内の2次元問題として圧カーティヤやフラクチャの位置を解析してもよいことがわかる。

Fig. 6 は、 $\psi = 30^\circ$ ,  $\phi = 30^\circ$ で、 $P_w$ が $200 \text{ kgf/cm}^2$ のときの、応力が最大値を示す方向 $\gamma_m$ に沿う面と直交する方向の応力と $\theta$ の間に伴う変化を示すものである。 $\sigma_m'$ が $46 \text{ kgf/cm}^2$ であるのに対し、 $\sigma_m$ は $124 \text{ kgf/cm}^2$ であるから、 $\theta$ が $270^\circ$ の位置でボアホール軸と $33^\circ$ で交わる面に沿って破壊が発生する。この方向にフラクチャが進展して、 $\theta$ が最大となる $\theta = 104^\circ$ に達しても、 $\sigma_m'$ よりもこの面と直交する応力の方が大きいので、フラクチャがボアホール軸方向に向きを変えることはない。したがって、このような場合には、ボアホール軸方向に沿うフラクチャは形成されない。

### 3. 水圧破碎データの解析

水圧破碎は次の手順で行う。加压区间にパッカーをセットした後、できるだけ大きい流量でアレーフダウン圧力が得られるまで送水する。その後直ちにフラクチャ内の中を排除し、同じ流量で送水する。圧力がピーク値に達した後、フラクチャ内の中を角びて排除する。さらに、同じ流量で送水し、フラクチャをある程度進展させた後、ボアホールをシャットインする。Fig. 7 は、東京電力(株)今市地下発電所坑内で、上記の手順に従って水圧破碎を行った際の水圧の時間経過の一例である。

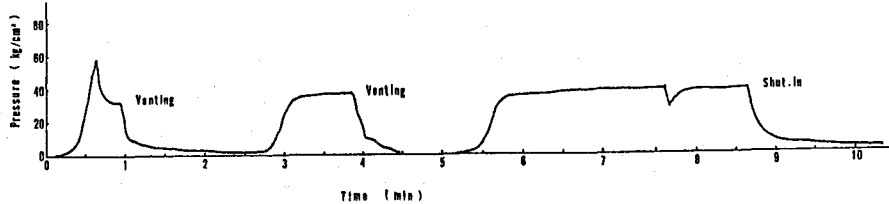


Fig. 7

このデータを用いて、フラクチャが働くときの圧力( $P_b'$ )を求める。Fig. 8 に示すように1回目と2回目の送水のときの水圧データを比較して決定する。<sup>4)</sup>ボアホール軸に沿ってフラクチャが形成された場合、ボアホール軸と直交する面に座標 $x, y$ をとり、その面内での最大圧縮応力( $\sigma_{x,y,M}$ )と最小圧縮応力( $\sigma_{x,y,m}$ )および間隙水圧( $P_0$ )と $P_b'$ との関係は、次式で与えられる。

$$P_b' = 3\sigma_{x,y,m} - \sigma_{x,y,M} - P_0. \quad (4)$$

さらに、フラクチャの方向を $\theta$ とし、この方向のせん断力を $T_{xy,\theta}$ で表せば、

$$T_{xy,\theta} = 0 \quad (5)$$

となる。

ボアホール軸を横切る方向にフラクチャが形成された場合、フラクチャオーナーニング圧力は、水圧破碎で新しいフラクチャを形成したかビュサによって異なる。新しいフラクチャが形成された場合、フラクチャの方向は力学的条件のみによって支配されるので、2節で述べるように

$$P_b' = \sigma_m \quad (6)$$

となる。岩盤の弱面に沿ってフラクチャが形成された場合、弱面が閉じていて

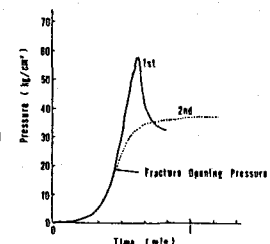


Fig. 8

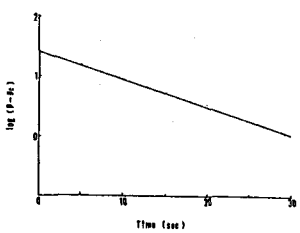


Fig. 9

$P_b'$ が求まることがある。そこで弱面がボアホール軸と $\theta$ の角度で交差するとすれば、フラクチャ面と直交する方向の圧力( $P_b$ )は、(1)式より次のように表すことができる。

$$P_b = \cos^2\gamma \sigma_\theta + \sin^2\gamma \sigma_z + \sin 2\gamma \tau_{xy} \quad (7)$$

(7)式は $\theta$ の関数だから、 $\theta$ を変え $P_b$ が最大となる値( $\sigma_{sym}$ )を求め。

$$P_b' = \sigma_{sym} \quad (8)$$

とする。

フラクチャをある程度成長させた後、ボアホールをシャットインするとフラクチャ内の水压は、一時的にフラクチャと直交する方向の地压とつり合う。したがって、シャットイン圧力( $P_s$ )からフラクチャと直交する方向の地压を求めることができる。しかし、シャットイン後フラクチャ内の水は岩盤に浸透するので、フラクチャ内の圧力は変化し、圧力データから直接 $P_s$ の値を読み取ることはむずかしい。そこで、次の方法により $P_s$ を求める。フラクチャは大きく、フラクチャから岩盤への浸透水は、フラクチャと直交する方向のみにDarcyの法則に従って流出するものと仮定する。水の流出に伴うフラクチャの体積変化は小さく、フラクチャ内の水压は一定値( $P_c$ )に近づくものとすれば、フラクチャ内の水压( $P$ )と時間( $t$ )との関係は次式で与えられる。

$$\ln(P - P_c) = at + \ln(P_i - P_c) \quad (9)$$

ここで $P_i$ は、 $t = 0$ ときのフラクチャ内の圧力である。 $P_c$ の値を適当に設定して、 $P$ と $t$ の関係をFig. 9に示すようにセミロジックグラフ上に描き、両者の関係がグラフ上で最も直線に近いときの $P_c$ を選ぶ。この直線が横軸と交わる点が $t = 0$ でのフラクチャ内の圧力から $P_c$ を引いた値になっていたため、 $P_s$ は

$$P_s = P_i + P_c \quad (10)$$

となる。

水圧破碎によって形成されるフラクチャの方向に関する情報は一般にボアホール壁面上のものに限られるので、 $P_s$ と解析に導入するに当り、次の点に注意しなければならない。水圧破碎により岩盤の弱面に影響され新たにフラクチャが形成される場合には、フラクチャの発生する方向は、ボアホール軸の方向と地压によって支配される。フラクチャがある程度成長すると、フラクチャの方向はボアホールに影響されなくはるので、その方向が変わることもある。このような場合には、フラクチャの進展方向を確認したうえで、シャットイン圧力を導入しなければならない。一方、岩盤の弱面に沿ってフラクチャが形成される場合には、フラクチャの方向は、ボアホールの方向に影響されないので、フラクチャが成長してもその方向が変わることはない。したがって、ボアホール壁面の解釈によりフラクチャ面を決定し、シャットイン圧力はこの面と直交する地压に等しいとおける。

以上の点を考慮して、水圧データの解析の手順をまとめたものを、Fig. 10に示す。

#### 参考文献

- 1) 水田義明他. 水圧破碎による3次元岩盤応力測定法について、岩盤力学に関するシンポジウム論文集. pp 116-120, 1983
- 2) 例えば B. C. Haimson他. State of Stress, Permeability and Fracture in the Precambrian Granite of Northern Illinois. JGR. Vol. 88, No. B9, pp 7355-7371, 1983
- 3) A. A. Daneshy. A Study of Inclined Hydraulic Fractures. SPEJ. April 1973. pp 61-68
- 4) S. H. Hickman他. The Interpretation of Hydraulic Fracturing Pressure-Time Data. HF Stress Measurements National Academy Press. 1981

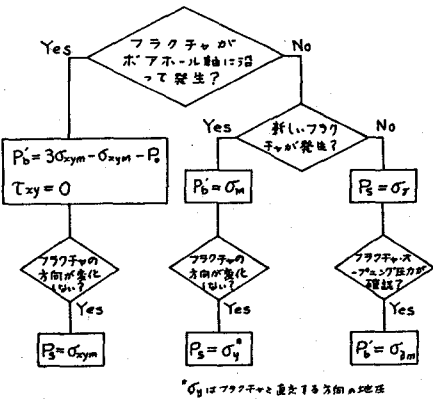


Fig. 10

(21) The Analysis of Pressure-Time Data by Hydraulic  
Fracturing to Determine the Stress State

National Research Institute for

Pollution and Resources

Michio Kuriyagawa

Hideo Kobayashi

Isao Matsunaga

Masayuki Kosugi

Hydraulic fracturing is often used for the determination of in-situ stress state. Recently, Mizuta proposed to measure the three-dimensional stress by hydraulic fracturing with the three boreholes which orients to the different direction.

In this paper, the problems arrising along with the three dimensional stress measurement are discussed. The stress concentration around the borehole arbitrarily oriented to the principal stress directions with applying the hydraulic pressure is analysed. The orientation of hydraulic fracture is determined from the stress concentration. It is also shown that the problem can reduce to the two demensional situation of the plane perpendicular to the borehole axis, when the fracture parallel to the borehole axis initiates.

Then the basic procedure of our hydraulic fracturing test is shown. The fracture opening pressure is obtained by comparing 1st and 2nd cycle of pumping and instantaneous shut-in pressure (ISIP) is determined by the asymptotic method proposed by L.Aamodt. The interpretation of pressure-time data is also discribed with the relation to the fracture orientation.